

ห้องสมุดวิจัย สำนักงานคณะกรรมการวิจัยแห่งชาติ



248697

การให้ความร้อนจากดินความถี่วิทยุเพื่อการควบคุมด้วยจั่วเปียและผลิต คุณภาพของจั่วเปียเผือกมัน

กราดร ณ พิจิตร

วิทยาศาสตร์มหาบัณฑิต
สาขาวิชาบริหารธุรกิจการผลิตการเก็บเกี่ยว

บัณฑิตวิทยาลัย
มหาวิทยาลัยเชียงใหม่
พฤษภาคม 2554



248697

การให้ความร้อนจากคลื่นความถี่วิทยุเพื่อการควบคุมด้วยถัวเขียวและผลต่อ^๑
คุณภาพของถัวเขียวผิวน้ำ

ภราดร ณ พิจาร



วิทยานิพนธ์นี้เสนอต่อบัณฑิตวิทยาลัยเพื่อเป็นส่วนหนึ่ง
ของการศึกษาตามหลักสูตรปริญญา
วิทยาศาสตรมหาบัณฑิต
สาขาวิชาวิทยาการหลังการเก็บเกี่ยว

บัณฑิตวิทยาลัย
มหาวิทยาลัยเชียงใหม่
พฤษจิกายน 2554

การให้ความร้อนจากคลื่นความถี่วิทยุเพื่อการควบคุมด้วยถัวเขียวและผลต่อ คุณภาพของถัวเขียวผิวนัน

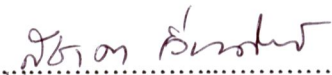
กราด พิจิตร

วิทยานิพนธ์นี้ได้รับการพิจารณาอนุมัติให้นับเป็นส่วนหนึ่งของการศึกษา
ตามหลักสูตรปริญญาวิทยาศาสตรมหาบัณฑิต
สาขาวิชาวิทยาการหลังการเก็บเกี่ยว

คณะกรรมการสอบวิทยานิพนธ์

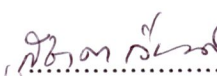
.....ประธานกรรมการ
รองศาสตราจารย์ ดร. วิเชียร เ昂สวัสดิ์

.....กรรมการ
อาจารย์ ดร. เยาวลักษณ์ จันทร์บาง

.....กรรมการ
รองศาสตราจารย์ ดร. สุชาดา เวียรศิลป์

คณะกรรมการที่ปรึกษาวิทยานิพนธ์

.....อาจารย์ที่ปรึกษาหลัก
อาจารย์ ดร. เยาวลักษณ์ จันทร์บาง

.....อาจารย์ที่ปรึกษาร่วม
รองศาสตราจารย์ ดร. สุชาดา เวียรศิลป์

23 พฤษภาคม 2554

© ลิขสิทธิ์ของมหาวิทยาลัยเชียงใหม่

กิตติกรรมประกาศ

วิทยานิพนธ์นี้สำเร็จลงได้ด้วยความกรุณาของ อาจารย์ ดร. เยาวลักษณ์ จันทร์บาง ที่ได้ สละเวลาให้คำแนะนำปรึกษา ตลอดจนตรวจสอบแก้ไขและให้ความช่วยเหลือจนวิทยานิพนธ์เล่นนี้ เสร็จสมบูรณ์ ผู้วิจัยขอกราบขอบพระคุณเป็นอย่างสูงมา ณ โอกาสนี้

ขอกราบขอบพระคุณ รองศาสตราจารย์ ดร. สุชาดา เวียรศิลป์ รองศาสตราจารย์ ดร. วิเชียร เง่งสวัสดิ์ และอาจารย์ณัฐศักดิ์ กฤษติกาเมษ ที่ค่อยช่วยเหลือให้คำปรึกษาและแนะนำแนวทาง ในการทำวิจัยครั้งนี้

ขอกราบขอบพระคุณคณาจารย์ และเจ้าหน้าที่ สถาบันวิจัยเทคโนโลยีหลังการเก็บเกี่ยว มหาวิทยาลัยเชียงใหม่ และศูนย์นวัตกรรมเทคโนโลยีหลังการเก็บเกี่ยว สำนักงานคณะกรรมการ การอุดมศึกษา กรุงเทพฯ ที่ค่อยให้การช่วยเหลือและอำนวยความสะดวกโดยตลอดระบบการศึกษา

ขอขอบคุณบัณฑิตวิทยาลัย และสถาบันวิจัยเทคโนโลยีหลังการเก็บเกี่ยว มหาวิทยาลัยเชียงใหม่ และศูนย์นวัตกรรมเทคโนโลยีหลังการเก็บเกี่ยว สำนักงานคณะกรรมการ การอุดมศึกษา กรุงเทพฯ ที่มอบทุนสนับสนุนการทำวิทยานิพนธ์ ครั้งนี้

ขอกราบขอบพระคุณบุญคุณอันใหญ่หลวงของบิดา มารดา และครอบครัวอันเป็นที่รัก ที่ เห็นความสำคัญของการศึกษาและมอบโอกาสที่ดีให้วิศวะตลอดจนสำเร็จการศึกษา และเป็นกำลังใจ ให้ทำงานวิจัย และการเขียนวิทยานิพนธ์นี้เสร็จสมบูรณ์

ขอขอบคุณนางสาวชลธิชา ยวงไย ที่ให้คำปรึกษาและเป็นกำลังใจผู้วิจัยตลอดมา

คุณประโภชน์ของวิทยานิพนธ์ฉบับนี้ขออนตราด้วย คุณพ่อ คุณแม่ ครูอาจารย์และผู้มีพระคุณ ทุกๆ ท่าน

ชื่อเรื่องวิทยานิพนธ์

การให้ความร้อนจากคลื่นความถี่วิทยุเพื่อการควบคุมด้วงถัวเขียว
และผลต่อคุณภาพของถัวเขียวผิวน้ำ

ผู้เขียน

นายกราคร ณ พิจิตร

ปริญญา

วิชาศาสตรมหาบัณฑิต (วิชาการหลังการเก็บเกี่ยว)

คณะกรรมการที่ปรึกษาวิทยานิพนธ์

อาจารย์ ดร. யោវត្សកម្មណ៍ ឈានទំនាក់
รองศาสตราจารย์ ดร. សុខាតា វិយសិក្សា ចារ៉ាវ
อาจารย์ที่ปรึกษาร่วม

บทคัดย่อ

248697

ด้วงถัวเขียว *Callosobruchus maculatus* (F.) เป็นแมลงศัตรูที่สำคัญระหว่างการเก็บรักษาเมล็ดถัวเขียว ระยะตัวหนอนเป็นระยะที่ทำลายภายในเมล็ดถัวเขียว ทำให้สูญเสียปริมาณและคุณภาพ การทดลองนี้มีวัตถุประสงค์เพื่อศึกษาการใช้คลื่นความถี่วิทยุ (radio frequency; RF) ที่ความถี่ 27.12 MHz ในการกำจัดด้วงถัวเขียว และผลของ RF ต่อคุณภาพถัวเขียว การทดลองที่ 1 ศึกษาคุณสมบัติโดยเลกทริกของเมล็ดถัวเขียวที่มีความชื้นเริ่มต้น 11 เปรอร์เซ็นต์ และระยะการเจริญเติบโตของด้วงถัวเขียว (ระยะไจ ระยะหนอน และระยะดักแด๊) ด้วยเครื่องวิเคราะห์อิมพีడенซ์ ความแม่นยำสูง ที่ช่วงความถี่ 0-30 MHz พนว่า ด้วงถัวเขียวระยะไจ ระยะหนอน และระยะดักแด๊ ที่อยู่บนหรือในเมล็ดถัวเขียว มีความสามารถในการสะสมและปลดปล่อยพลังงานไฟฟ้าได้กว่า เมล็ดถัวเขียวเพียงอย่างเดียว การทดลองที่ 2 ศึกษาความทนทานของด้วงถัวเขียวต่อคลื่นความถี่วิทยุในระยะไจ ระยะหนอน และระยะดักแด๊ ที่อยู่ในเมล็ดถัวเขียวความชื้น 11.0 เปรอร์เซ็นต์ บรรจุในถุง laminate นำไปให้ RF ที่พลังงาน 640 วัตต์ เวลา 120 วินาที พนว่า ระยะไจ ระยะหนอน และระยะดักแด๊ มีอัตราการตายไม่แตกต่างกันทางสถิติ ($P>0.05$) เท่ากับ 30.88, 33.90 และ 22.91 เปรอร์เซ็นต์ ตามลำดับ การทดลองที่ 3 ใช้ด้วงถัวเขียวระยะดักแด๊ เป็นตัวแทนของระยะอื่นที่ทนต่อ RF นำมาศึกษาเพื่อหาระยะเวลาที่เหมาะสมที่จะทำให้แมลงตายอย่างสมบูรณ์ โดยนำไปให้

RF ที่พลังงาน 640 วัตต์ ที่ระยะเวลา 120, 140, 160, 180, 200 และ 220 วินาที พนว่า ด้วยถ้าเขียว ระยะเวลาเดียวกับอย่างสมมูลน์ (100 เปอร์เซ็นต์) ที่ระยะเวลา 220 วินาที อุณหภูมิสุดท้ายเฉลี่ยเท่ากับ 74.5 ± 0.5 องศาเซลเซียส

คุณภาพถ้าเขียว (ชุดควบคุม; ไม่ผ่าน RF) เมื่อนำมาวัดปริมาณความชื้น (11.0 เปอร์เซ็นต์) ค่าความแข็ง (536.11 นิวตัน) ปริมาณคาร์บอนไฮเดรต (59.42 เปอร์เซ็นต์) โปรตีน (20.76 เปอร์เซ็นต์) ไขมัน (0.82 เปอร์เซ็นต์) และเยื่อไข (4.55 เปอร์เซ็นต์) พนว่าแตกต่างอย่างมีนัยสำคัญทางสถิติ ($P<0.05$) กับถ้าเขียวที่นำไปผ่าน RF ที่พลังงาน 640 วัตต์เป็นเวลา 220 วินาที มีค่าเฉลี่ยเท่ากับ 10.6 เปอร์เซ็นต์ 527.55 นิวตัน 60.69 เปอร์เซ็นต์ 20.27 เปอร์เซ็นต์ 0.57 เปอร์เซ็นต์ และ 4.35 เปอร์เซ็นต์ ตามลำดับ แต่ไม่มีผลกระทบต่อปริมาณเหล้าและปริมาณอะไนโอลส์ ในการวัดค่าสี L*, a*, b* ของเมล็ดถ้าเขียวชุดควบคุมมีค่าเฉลี่ยเท่ากับ 37.16, -1.22 และ 22.70 ซึ่งแตกต่างอย่างมีนัยสำคัญทางสถิติ ($P<0.05$) กับที่ผ่าน RF ซึ่งมีค่าเท่ากับ 36.11, -1.10 และ 24.46 ตามลำดับ

สำหรับค่าคงที่ไดอิเลคทริกและค่าแฟกเตอร์การสูญเสีย มีค่าเพิ่มขึ้นอย่างมีนัยสำคัญทางสถิติ ($P<0.05$) จากชุดควบคุมซึ่งมีค่าเท่ากับ 2.117 และ 2.074 ไปเป็น 2.126 และ 2.086 ตามลำดับ ส่วนการเปลี่ยนแปลงของความหนืดขึ้นของแป้งถ้าเขียว พนว่ามีค่าความคงทนต่อการกวนของแป้ง เพิ่มขึ้นอย่างมีนัยสำคัญทางสถิติ ($P<0.05$) จาก 107.33 เป็น 131.83 RVU ส่วนค่าความหนืดสูงสุด ค่าการคืนตัวของแป้ง ค่าอุณหภูมิเริ่มต้นความหนืด และค่าความหนืดสุดท้ายของถ้าเขียวที่ผ่าน RF ไม่แตกต่างทางสถิติกับชุดควบคุม

Thesis Title Radio Frequency Heating for Cowpea Weevil Control and Effect on Mungbean Qualities

Author Mr. Paradon Na Pijit

Degree Master of Science (Postharvest Technology)

Thesis Advisory Committee

Lect. Dr. Yaowaluk Chanbang Advisor

Assoc. Prof. Dr. Suchada Vearasilp Co-advisor

Abstract

248697

Cowpea weevil, *Callosobruchus maculatus* (F.), is an important pest of mungbean, *Vigna radiata* (L.). It causes quantity and quality grain losses from larvae feed inside mungbean. The objectives of this study were to evaluate the efficacy of radio frequency (RF) at 27.12 MHz to control cowpea weevil and examine RF effects on mungbean qualities. In experiment 1, dielectric properties of mungbean at moisture content of 11% (w.b.) and sets of mungbean infested with various cowpea weevil stages (egg, larval and pupal) were studied using precision impedance analyser at frequencies of 0-30 MHz. The result found that egg, larval and pupal stages of cowpea weevil shown ability to accumulate and release the electric energy better than mungbean grain alone. In experiment 2, the tolerance of cowpea weevil to heat treatment was studied among egg, larval and pupal stages was studied using mungbean grain at 11.0% mc which packed in laminated bag and then treated with RF at the power of 640 watt for 120 seconds. The result found that insect mortality was not significantly different ($P>0.05$) among egg (30.88%), larval (33.90 %) and pupal (22.91%) stages. In experiment 3, pupal stage as the representative of those tolerance cowpea weevil was treated at 640 watts of RF power and for 120, 140, 160, 180, 200 and 220 seconds. The result showed that RF at 640 watts for 220 seconds caused 100% pupal mortality and the final average temperature was 74.5 ± 0.5 °C.

Qualities of mungbean grain after treated at 640 watts for 220 seconds and untreated control were examined. Moisture content, hardness, carbohydrate content, crude protein and crude fat of mngbean grain after treated with 640 watts for 220 seconds were 10.6%, 527.55 N, 60.69%, 20.27%, 0.57% and 4.35%, respectively which were significantly different ($P<0.05$) from untreated control as 11.0%, 536.11 N, 59.42%, 20.76%, 0.82% and 4.55%, respectively.

However, there were no significant difference of ash and amylose content between the RF treatment and untreated control. There were significantly fewer ($P<0.05$) L* (37.16) in color measurement which present in the yellow pale color of RF-treatment mungbean while the a* and b* in RF treatment showed -1.22, 22.70 when comparing the untreated control (-1.10, 24.46). Dielectric constant and loss factor have significantly increased ($P<0.05$) from 2.117 and 2.074 in untreated control to 2.126 and 2.086 in the RF treatment. The viscosity of mungbean flour showed that its breakdown value was significantly ($P<0.05$) increased from 107.33 to 131.83 RVU while there were not significantly different ($P>0.05$) between untreated and RF treatment in term of the peak viscosity, setback value, pasting temperature and final viscosity.

สารบัญ

หน้า

กิตติกรรมประกาศ	๑
บทคัดย่อภาษาไทย	๒
บทคัดย่อภาษาอังกฤษ	๓
สารบัญ	๔
สารบัญตาราง	๕
สารบัญภาพ	๖
สารบัญตารางภาคผนวก	๗
สารบัญภาพภาคผนวก	๘
บทที่ ๑ บทนำ	๑
บทที่ ๒ ตรวจสอบสาร	๓
บทที่ ๓ อุปกรณ์และวิธีการทดลอง	๒๙
บทที่ ๔ ผลและวิจารณ์ผล	๓๔
บทที่ ๕ สรุปผลการทดลอง	๕๙
เอกสารอ้างอิง	๖๑
ภาคผนวก	๗๓
ภาคผนวก ก วิธีวิเคราะห์องค์ประกอบทางเคมีและสมบัติทางกายของถั่วเขียว	๗๔
ภาคผนวก ข ตารางแสดงผลการทดลอง	๙๖
ภาคผนวก ค ผลการวิเคราะห์ข้อมูลทางสถิติ	๑๒๔
ภาคผนวก ง ภาพเครื่องมือ	๑๓๙
ประวัติผู้เขียน	๑๔๖

สารบัญตาราง

ตาราง	หน้า
2.1 คุณค่าทางโภชนาการผลิตภัณฑ์จากถั่วเขียว	4
2.2 ปริมาณกรดอะมิโนเมล็ดถั่วชนิดต่าง ๆ เปรียบเทียบกับโปรตีนจากไก่	4
2.3 ปริมาณวิตามินชนิดต่าง ๆ ในเมล็ดถั่ว	5
2.4 ผลของอุณหภูมิที่มีต่อแมลงศัตรูโรงเก็บ	12
2.5 การจำแนกช่วงความถี่สำหรับการใช้งานในทางอุตสาหกรรมและวิทยาศาสตร์การแพทย์	20
4.1 ค่าคงที่ไดอิเลคทริก (dielectric constant; ϵ') ของเมล็ดถั่วเขียว ระยะไฟฟ้าบนอน และระยะดักแด้ของค่าวัสดุถั่วเขียว ที่วัดจากเครื่องอิมพีเดนซ์ ความแม่นยำสูง หัววัดแบบ open-ended coaxial ที่ระยะเพลทต่างกัน ที่ความถี่ 26.89 MHz	38
4.2 ค่าแฟกเตอร์การสูญเสีย (loss factor; ϵ'') ของเมล็ดถั่วเขียว ระยะไฟฟ้าบนอน และระยะดักแด้ของค่าวัสดุถั่วเขียว ที่วัดจากเครื่องอิมพีเดนซ์ ความแม่นยำสูง หัววัดแบบ open-ended coaxial ที่ระยะเพลทต่างกัน ที่ความถี่ 26.89 MHz	38
4.3 ค่าลอสแทนเจน (loss tangent; $\tan \delta$) ของเมล็ดถั่วเขียว ระยะไฟฟ้าบนอน และระยะดักแด้ของค่าวัสดุถั่วเขียว ที่วัดจากเครื่องอิมพีเดนซ์ ความแม่นยำสูง หัววัดแบบ open-ended coaxial ที่ระยะเพลทต่างกัน ที่ความถี่ 26.89 MHz	39
4.4 เปอร์เซ็นต์การตาข่ายเฉลี่ยของค่าวัสดุ Callosobruchus maculatus ทั้ง 3 ระยะการเจริญเติบโตที่ผ่านคลื่นความถี่วิทยุ 27.12 MHz ที่ระดับพลังงาน 640 วัตต์ ระยะเวลา 120 วินาที	44
4.5 จำนวนแมลงรุนแรงถั่ว Callosobruchus maculatus ทั้ง 3 ระยะ การเจริญเติบโตเฉลี่ยที่ผ่านคลื่นความถี่วิทยุ 27.12 MHz ที่ระดับพลังงาน 640 วัตต์ ระยะเวลา 120 วินาที หลังจากเก็บรักษาเป็นระยะเวลา 4 สัปดาห์	47

สารบัญตาราง (ต่อ)

ตาราง		หน้า
4.6	เปอร์เซ็นต์การด้วยเฉลี่ยของค่าเฉลี่ยที่ผ่านคลื่นความถี่วิทยุ 27.12 MHz ที่ระดับพลังงาน 640 วัตต์ ระยะเวลา 120, 140, 160, 180, 200 และ 220 วินาที	48
4.7	ผลการวิเคราะห์ความชื้น ค่าสี L* a* b* และค่าความแข็งของเมล็ดถั่วเขียวที่ผ่านคลื่นความถี่วิทยุ ที่ระดับพลังงาน 640 วัตต์ ระยะเวลา 220 วินาที	52
4.8	ผลการวิเคราะห์ค่า RVA ของเมล็ดถั่วเขียวที่ผ่านคลื่นความถี่วิทยุ ที่ระดับพลังงาน 640 วัตต์ ระยะเวลา 220 วินาที	55
4.9	ผลการวิเคราะห์ค่าคงที่ไออิเลคทริก (E') และค่าแฟกเตอร์การสูญเสีย (E'') ของเมล็ดถั่วเขียวที่ผ่านคลื่นความถี่วิทยุ ที่ระดับพลังงาน 640 วัตต์ ระยะเวลา 220 วินาที	56
4.10	ผลการวิเคราะห์ส่วนประกอบทางเคมีของเมล็ดถั่วเขียวที่ผ่านคลื่นความถี่วิทยุ ที่ระดับพลังงาน 640 วัตต์ ระยะเวลา 220 วินาที	56

สารบัญภาพ

ภาพ	หน้า
2.1 การเปลี่ยนแปลงความหนืดของแป้งชนิดต่าง ๆ	7
2.2 สเปกตรัมของคลื่นแม่เหล็กไฟฟ้า	13
2.3 ลักษณะการตอบสนองต่อคลื่นแม่เหล็กไฟฟ้าของวัสดุชนิดต่าง ๆ	14
2.4 การให้ความร้อนแบบไอดิเลคทริก (ก) และการให้ความร้อนแบบเดิม (ข)	14
2.5 การผันแปรของค่าคงที่ไอดิเลคทริกและแฟกเตอร์การสูญเสียของข้าวสาลี (<i>Triticum aestivum L.</i>) ที่อุณหภูมิ 24 องศาเซลเซียส โดยมีอิทธิพลมาจากความถี่และปริมาณความชื้นในช่วง 2.7 เปอร์เซ็นต์ ถึง 23.8 เปอร์เซ็นต์	18
2.6 ค่าคงที่ไอดิเลคทริกของข้าวโพดผันแปรกับอุณหภูมิ	19
2.7 ค่าคงที่ไอดิเลคทริกของข้าวโพดที่ขึ้นอยู่กับความหนาแน่น	19
2.8 รูปแบบของ Electrodes ที่ใช้กับคลื่นความถี่วิทยุ	22
2.9 ผลกระทบของช่องว่างอากาศ (air gap)	23
2.10 ระบบการทำงานของเครื่อง Radio Frequency	24
2.11 กระบวนการสั่นสะเทือนของโมเลกุลน้ำจันเกิดความร้อน	25
4.1 ค่าคงที่ไอดิเลคทริก (E') ของถั่วเขียว และถั่วเขียวที่มีด้วงถั่วเขียว ระยะไข่ ระยะหนอนและระยะดักแด๊ นำไปวัดคุณสมบัติไอดิเลคทริก ที่ระยะห่างเพลท 0.50(ก) 1.00(ข) และ 1.50 (ค) เซนติเมตร	35
4.2 แฟกเตอร์การสูญเสีย (E'') ของถั่วเขียว และถั่วเขียวที่มีด้วงถั่วเขียว ระยะไข่ ระยะหนอนและระยะดักแด๊ นำไปวัดคุณสมบัติไอดิเลคทริก ที่ระยะห่างเพลท 0.50(ก) 1.00 (ข) และ 1.50(ค) เซนติเมตร	36
4.3 ค่าลอสแทนเจน ($\tan \delta$) ของถั่วเขียว และถั่วเขียวที่มีด้วงถั่วเขียว ระยะไข่ ระยะหนอนและระยะดักแด๊ นำไปวัดคุณสมบัติไอดิเลคทริก ที่ระยะเพลท 0.50(ก) 1.00(ข) และ 1.50 (ค) เซนติเมตร	37
4.4 กราฟแสดงอุณหภูมิของถั่วเขียวความชื้น 11 เปอร์เซ็นต์ ที่ผ่านคลื่นความถี่วิทยุ 27.12 MHz ที่ระดับพลังงานต่าง ๆ	43

สารบัญตารางภาคผนวก

ภาคผนวก ฯ

รายการภาคผนวก		หน้า
1	ค่าคงที่ไอดิเลคทริก (ϵ') แฟลกเตอร์การสูญเสีย (ϵ'') และค่าลอสแทนเจน ($\tan \delta$) ของเม็ดถั่วเขียวที่ความชื้นเฉลี่ย 11 เปอร์เซ็นต์ วัดจากเครื่องอินพีเดนซ์ความแม่นยำสูง ด้วยหัววัดแบบ open-ended coaxial ที่ระยะเพลท 0.50 เซนติเมตร ที่ช่วงความถี่ 0-30 MHz	97
2	ค่าคงที่ไอดิเลคทริก (ϵ') ค่าแฟลกเตอร์การสูญเสีย (ϵ'') และค่าลอสแทนเจน ($\tan \delta$) ของด้วงถั่วเขียวระยะไข่ วัดจากเครื่องอินพีเดนซ์ความแม่นยำสูง ด้วยหัววัดแบบ open-ended coaxial ที่ระยะเพลท 0.50 เซนติเมตร ที่ช่วงความถี่ 0 - 30 MHz	99
3	ค่าคงที่ไอดิเลคทริก (ϵ') ค่าแฟลกเตอร์การสูญเสีย (ϵ'') และค่าลอสแทนเจน ($\tan \delta$) ของด้วงถั่วเขียวระยะหนอน วัดจากเครื่องอินพีเดนซ์ความแม่นยำสูง ด้วยหัววัดแบบ open-ended coaxial ที่ระยะเพลท 0.50 เซนติเมตร ที่ช่วงความถี่ 0-30 MHz	101
4	ค่าคงที่ไอดิเลคทริก (ϵ') ค่าแฟลกเตอร์การสูญเสีย (ϵ'') และค่าลอสแทนเจน ($\tan \delta$) ของด้วงถั่วเขียวระยะดักแด้ วัดจากเครื่องอินพีเดนซ์ความแม่นยำสูง ด้วยหัววัดแบบ open-ended coaxial ที่ระยะเพลท 0.50 เซนติเมตร ที่ช่วงความถี่ 0-30 MHz	103
5	ค่าคงที่ไอดิเลคทริก (ϵ') ค่าแฟลกเตอร์การสูญเสีย (ϵ'') และค่าลอสแทนเจน ($\tan \delta$) ของเม็ดถั่วเขียวที่ความชื้นเฉลี่ย 11 เปอร์เซ็นต์ วัดจากเครื่องอินพีเดนซ์ความแม่นยำสูง ด้วยหัววัดแบบ open-ended coaxial ที่ระยะเพลท 1.00 เซนติเมตร ที่ช่วงความถี่ 0-30 MHz	105
6	ค่าคงที่ไอดิเลคทริก (ϵ') ค่าแฟลกเตอร์การสูญเสีย (ϵ'') และค่าลอสแทนเจน ($\tan \delta$) ของด้วงถั่วเขียวระยะไข่ วัดจากเครื่องอินพีเดนซ์ความแม่นยำสูง ด้วยหัววัดแบบ open-ended coaxial ที่ระยะเพลท 1.00	107

สารบัญตารางภาคผนวก (ต่อ)

ภาคผนวก ๖

ตารางภาคผนวก

หน้า

เซนติเมตร ที่ช่วงความถี่ 0-30 MHz

7	ค่าคงที่ไดอิเลคทริก (ϵ') ค่าแฟกเตอร์การสูญเสีย (ϵ'') และค่าลอสแทนเจน ($\tan \delta$) ของด้วงถั่วเขียวระยะหนอน วัดจากเครื่องอิมพีเดนซ์ความแม่นยำสูง ด้วยหัววัดแบบ open-ended coaxial ที่ระยะเพลท 1.00	109
8	ค่าคงที่ไดอิเลคทริก (ϵ') ค่าแฟกเตอร์การสูญเสีย (ϵ'') และค่าลอสแทนเจน ($\tan \delta$) ของด้วงถั่วเขียวระยะดักแด้ วัดจากเครื่องอิมพีเดนซ์ความแม่นยำสูง ด้วยหัววัดแบบ open-ended coaxial ที่ระยะเพลท 1.00	111
9	ค่าคงที่ไดอิเลคทริก (ϵ') ค่าแฟกเตอร์การสูญเสีย (ϵ'') และค่าลอสแทนเจน ($\tan \delta$) ของเมล็ดถั่วเขียวที่ความชื้นเฉลี่ย 11 เปอร์เซ็นต์ วัดจากเครื่องอิมพีเดนซ์ความแม่นยำสูง ด้วยหัววัดแบบ open-ended coaxial ที่ระยะเพลท 1.50 เซนติเมตร ที่ช่วงความถี่ 0-30 MHz	113
10	ค่าคงที่ไดอิเลคทริก (ϵ') ค่าแฟกเตอร์การสูญเสีย (ϵ'') และค่าลอสแทนเจน ($\tan \delta$) ของด้วงถั่วเขียวระยะໄี่ วัดจากเครื่องอิมพีเดนซ์ความแม่นยำสูง ด้วยหัววัดแบบ open-ended coaxial ที่ระยะเพลท 1.50	115
11	ค่าคงที่ไดอิเลคทริก (ϵ') ค่าแฟกเตอร์การสูญเสีย (ϵ'') และค่าลอสแทนเจน ($\tan \delta$) ของด้วงถั่วเขียวระยะหนอน วัดจากเครื่องอิมพีเดนซ์ความแม่นยำสูง ด้วยหัววัดแบบ open-ended coaxial ที่ระยะเพลท 1.50	117
12	ค่าคงที่ไดอิเลคทริก (ϵ') ค่าแฟกเตอร์การสูญเสีย (ϵ'') และค่าลอสแทนเจน ($\tan \delta$) ของด้วงถั่วเขียวระยะดักแด้ วัดจากเครื่องอิมพีเดนซ์ความแม่นยำสูง ด้วยหัววัดแบบ open-ended coaxial ที่ระยะเพลท 1.50	119

สารบัญตารางภาคผนวก (ต่อ)

ภาคผนวก ข

ตารางภาคผนวก

หน้า

เซนติเมตร ที่ช่วงความถี่ 0 - 30 MHz

- | | | |
|----|--|-----|
| 13 | ค่าคงที่ไดอิเลคทริก (ϵ') ค่าแฟกเตอร์การสูญเสีย (ϵ'') และค่าลอสแทนเจน ($\tan \delta$) ของเมล็ดถั่วเขียวผ่านคลื่นความถี่วิทยุ 27.12 MHz ที่ระดับพลังงาน 640 วัตต์ เป็นระยะเวลา 220 วินาที วัดจากเครื่องอินพีเดนซ์ ความแม่นยำสูง ด้วยหัววัดแบบ open-ended coaxial ที่ช่วงความถี่ 0-30 MHz | 121 |
| 14 | ค่าเฉลี่ยของอุณหภูมิ ($^{\circ}\text{C}$) (ค่าเฉลี่ย \pm SD) ในการตอบสนองของถั่วเขียวความชื้น 11 เปอร์เซ็นต์ ที่ผ่านคลื่นความถี่วิทยุ 27.12 MHz ที่ระดับพลังงานต่าง ๆ | 123 |

สารบัญตารางภาคผนวก

ภาคผนวก ๔

ตารางภาคผนวก		หน้า
1	ผลการวิเคราะห์ทางสถิติค่าคงที่ไดอิเลคทริก (dielectric constant; ϵ') ใน ระยะห่างเพลทที่ 0.50, 1.00 และ 1.50 เซนติเมตร	125
2	ผลการวิเคราะห์ทางสถิติค่าแฟกเตอร์การสูญเสีย (loss factor; ϵ'') ใน ระยะห่างเพลทที่ 0.50, 1.00 และ 1.50 เซนติเมตร	125
3	ผลการวิเคราะห์ทางสถิติค่าลอสแทนเจน (loss tangent; $\tan \delta$) ใน ระยะห่างเพลทที่ 0.50, 1.00 และ 1.50 เซนติเมตร	126
4	ผลการวิเคราะห์ทางสถิติของเปอร์เซ็นต์การตายเฉลี่ยของด้วงถั่วเขียว <i>Callosobruchus maculatus</i> ทั้ง 3 ระยะการเจริญเติบโตที่ผ่านคลื่นความถี่ วิทยุ 27.12 MHz ที่ระดับพลังงาน 640 วัตต์ ระยะเวลา 120 วินาที	126
5	ตาราง LSD ของผลการวิเคราะห์ทางสถิติของเปอร์เซ็นต์การตายเฉลี่ยของ ด้วงถั่วเขียว <i>Callosobruchus maculatus</i> ทั้ง 3 ระยะการเจริญเติบโตที่ผ่าน คลื่นความถี่วิทยุ 27.12 MHz ที่ระดับพลังงาน 640 วัตต์ ระยะเวลา 120 วินาที	127
6	ผลการวิเคราะห์ทางสถิติจำนวนแมลงรุ่นลูกด้วงถั่วเขียว <i>Callosobruchus</i> <i>maculatus</i> ทั้ง 3 ระยะการเจริญเติบโตเฉลี่ยที่ผ่านคลื่นความถี่วิทยุ 27.12 MHz ที่ระดับพลังงาน 640 วัตต์ ระยะเวลา 120 วินาที หลังจากเก็บ รักษาเป็นระยะเวลา 4 สัปดาห์	127
7	ผลการวิเคราะห์ทางสถิติของเปอร์เซ็นต์การตายเฉลี่ยของด้วงถั่วเขียวระยะ ดักแด้ ที่ผ่านคลื่นความถี่วิทยุ 27.12 MHz ที่ระดับพลังงาน 640 วัตต์ ระยะเวลา 120, 140, 160, 180, 200 และ 220 วินาที	128
8	ตาราง LSD ของผลการวิเคราะห์ทางสถิติของเปอร์เซ็นต์การตายเฉลี่ยของ ด้วงถั่วเขียวระยะดักแด้ ที่ผ่านคลื่นความถี่วิทยุ 27.12 MHz ที่ระดับ พลังงาน 640 วัตต์ ระยะเวลา 120, 140, 160, 180, 200 และ 220 วินาที	128

สารบัญตารางภาคผนวก (ต่อ)

ภาคผนวก ค

	ตารางภาคผนวก	หน้า
9	ผลการวิเคราะห์ทางสถิติของเบอร์เซ็นต์ความชื้นของถั่วเขียวที่ผ่านคลื่นความถี่วิทยุ 27.12 MHz ที่ระดับพลังงาน 640 วัตต์ ระยะเวลา 220 วินาที และถั่วเขียวที่ไม่ผ่านคลื่น (ชุดควบคุม)	129
10	ผลการวิเคราะห์ทางสถิติของค่า Hardness (N) ในถั่วเขียวที่ผ่านคลื่นความถี่วิทยุ 27.12 MHz ที่ระดับพลังงาน 640 วัตต์ ระยะเวลา 220 วินาที และถั่วเขียวที่ไม่ผ่านคลื่น (ชุดควบคุม)	130
11	ผลการวิเคราะห์ทางสถิติของค่า L* ในถั่วเขียวที่ผ่านคลื่นความถี่วิทยุ 27.12 MHz ที่ระดับพลังงาน 640 วัตต์ ระยะเวลา 220 วินาที และถั่วเขียวที่ไม่ผ่านคลื่น (ชุดควบคุม)	130
12	ผลการวิเคราะห์ทางสถิติของค่า a* ในถั่วเขียวที่ผ่านคลื่นความถี่วิทยุ 27.12 MHz ที่ระดับพลังงาน 640 วัตต์ ระยะเวลา 220 วินาที และถั่วเขียวที่ไม่ผ่านคลื่น (ชุดควบคุม)	131
13	ผลการวิเคราะห์ทางสถิติของค่า b* ในถั่วเขียวที่ผ่านคลื่นความถี่วิทยุ 27.12 MHz ที่ระดับพลังงาน 640 วัตต์ ระยะเวลา 220 วินาที และถั่วเขียวที่ไม่ผ่านคลื่น (ชุดควบคุม)	131
14	ผลการวิเคราะห์ทางสถิติของค่าความหนืดสูงสุด (Peak viscosity) ในถั่วเขียวที่ผ่านคลื่นความถี่วิทยุ 27.12 MHz ที่ระดับพลังงาน 640 วัตต์ ระยะเวลา 220 วินาที และถั่วเขียวที่ไม่ผ่านคลื่น (ชุดควบคุม)	132
15	ผลการวิเคราะห์ทางสถิติของค่าความคงทนต่อการกรวนของแป้ง (Breakdown) ในถั่วเขียวที่ผ่านคลื่นความถี่วิทยุ 27.12 MHz ที่ระดับพลังงาน 640 วัตต์ ระยะเวลา 220 วินาที และถั่วเขียวที่ไม่ผ่านคลื่น (ชุดควบคุม)	132
16	ผลการวิเคราะห์ทางสถิติของค่าความหนืดสุดท้าย (Final viscosity) ในถั่วเขียวที่ผ่านคลื่นความถี่วิทยุ 27.12 MHz ที่ระดับพลังงาน 640 วัตต์ ระยะเวลา 220 วินาที และถั่วเขียวที่ไม่ผ่านคลื่น (ชุดควบคุม)	133

สารบัญตารางภาคผนวก (ต่อ)

ภาคผนวก ค

ตารางภาคผนวก	หน้า
17 ผลการวิเคราะห์ท่างสถิติของค่าการคืนตัวของแป้ง (Setback) ในถั่วเขียวที่ผ่านคลื่นความถี่วิทยุ 27.12 MHz ที่ระดับพลังงาน 640 วัตต์ ระยะเวลา 220 วินาที และถั่วเขียวที่ไม่ผ่านคลื่น (ชุดควบคุม)	133
18 ผลการวิเคราะห์ท่างสถิติของค่าอุณหภูมireิ่มต้นความหนืด (pasting temperature) ในถั่วเขียวที่ผ่านคลื่นความถี่วิทยุ 27.12 MHz ที่ระดับพลังงาน 640 วัตต์ ระยะเวลา 220 วินาที และถั่วเขียวที่ไม่ผ่านคลื่น (ชุดควบคุม)	134
19 ผลการวิเคราะห์ท่างสถิติของค่าคงที่ไอดิเลคทริก (ϵ') ในถั่วเขียวที่ผ่านคลื่นความถี่วิทยุ 27.12 MHz ที่ระดับพลังงาน 640 วัตต์ ระยะเวลา 220 วินาที และถั่วเขียวที่ไม่ผ่านคลื่น (ชุดควบคุม)	134
20 ผลการวิเคราะห์ท่างสถิติของแฟกเตอร์การสูญเสีย (ϵ'') ในถั่วเขียวที่ผ่านคลื่นความถี่วิทยุ 27.12 MHz ที่ระดับพลังงาน 640 วัตต์ ระยะเวลา 220 วินาที และถั่วเขียวที่ไม่ผ่านคลื่น (ชุดควบคุม)	135
21 ผลการวิเคราะห์ท่างสถิติของเปอร์เซ็นต์การโน้มเดรตของถั่วเขียวที่ผ่านคลื่นความถี่วิทยุ 27.12 MHz ที่ระดับพลังงาน 640 วัตต์ ระยะเวลา 220 วินาที และถั่วเขียวที่ไม่ผ่านคลื่น (ชุดควบคุม)	135
22 ผลการวิเคราะห์ท่างสถิติของเปอร์เซ็นต์โปรดีนของถั่วเขียวที่ผ่านคลื่นความถี่วิทยุ 27.12 MHz ที่ระดับพลังงาน 640 วัตต์ ระยะเวลา 220 วินาที และถั่วเขียวที่ไม่ผ่านคลื่น (ชุดควบคุม)	136
23 ผลการวิเคราะห์ท่างสถิติของเปอร์เซ็นต์ไขมันของถั่วเขียวที่ผ่านคลื่นความถี่วิทยุ 27.12 MHz ที่ระดับพลังงาน 640 วัตต์ ระยะเวลา 220 วินาที และถั่วเขียวที่ไม่ผ่านคลื่น (ชุดควบคุม)	136
24 ผลการวิเคราะห์ท่างสถิติของเปอร์เซ็นต์เยื่อไขข่องถั่วเขียวที่ผ่านคลื่นความถี่วิทยุ 27.12 MHz ที่ระดับพลังงาน 640 วัตต์ ระยะเวลา 220 วินาที และถั่วเขียวที่ไม่ผ่านคลื่น (ชุดควบคุม)	137

สารบัญตารางภาคผนวก (ต่อ)

ภาคผนวก ค

ตารางภาคผนวก	หน้า
25 ผลการวิเคราะห์ทางสถิติของเปอร์เซ็นต์ถ้าของถัวเฉี่ยวที่ผ่านคลื่นความถี่ วิทยุ 27.12 MHz ที่ระดับพลังงาน 640 วัตต์ ระยะเวลา 220 วินาที และ ถัวเฉี่ยวที่ไม่ผ่านคลื่น (ชุดควบคุม)	137
26 ผลการวิเคราะห์ทางสถิติของเปอร์เซ็นต์ของโลสของถัวเฉี่ยวที่ผ่านคลื่น ความถี่วิทยุ 27.12 MHz ที่ระดับพลังงาน 640 วัตต์ ระยะเวลา 220 วินาที และถัวเฉี่ยวที่ไม่ผ่านคลื่น (ชุดควบคุม)	138

สารบัญภาคพากผนวก

ภาคพากผนวก ๑

ภาคพากผนวก	หน้า
1 ตะแกรง Laboratory test sieve ที่มีช่องเปิดขนาด 2.80 มิลลิเมตร	140
2 96 well plate ใช้ในการเลี้ยงดูตัวเชื้อตั้งแต่ระยะไข่จนถึงระยะหนอน และระยะดักแด่	140
3 เครื่องกำเนิดคลื่นความถี่วิทยุ (Radio frequency generator) (Sairem, France) สร้างและปรับปรุงโดย Institute of Agriculture Engineering, University of Göttingen, Germany ความถี่ 27.12 MHz	141
4 เครื่องวิเคราะห์อิมพีเดนซ์ความแม่นขึ้นๆ (impedance analyzer) ตัวเก็บประจุแบบแผ่นเพลทคู่นานและหัววัดแบบ open-ended coaxial	141
5 เครื่องวัดสี (Color Quest XE; HunterLab, USA)	142
6 เครื่องวัดเนื้อสัมผัสอาหาร (Texture analyzer; TA-Xtplus)	142
7 ชุดวิเคราะห์ปริมาณโปรตีน (Protein Analyzer and Accessories)	143
8 สเปกโตรโฟโตมิเตอร์ (spectrophotometer; SPE CORD 40, Analytik jena AG)	143
9 เครื่องวิเคราะห์เส้นใยอาหาร (Fiber analyser; Fiber System E)	144
10 เครื่องวิเคราะห์ไขมันทั้งหมด (Fat analyser; AVANTI 2055, Foss Teactor, Sweden)	144
11 เครื่องวิเคราะห์ความหนืดของผลิตภัณฑ์แป้ง (Rapid Visco Analyser, RVA-4)	145